

PT와 NPT 구조를 가진 3300V HVIGBT 스위칭 특성 비교 연구

엄기주, 서범석*, 현동석

한양대학교 전기공학과, *페어차일드 코리아 반도체 주식회사

Switching Performance of 3.3kV HVIGBTs with PT and NPT Structures

Kee-Ju Um, Bum-Seok Suh*, Dong-Seok Hyun

Dept. of Electrical Engineering, Hanyang Univ., Fairchild Semiconductor

Abstract

이 논문은 3300V 정격의 PT와 NPT HVIGBT의 스위칭 특성을 비교하여 제시한다. 실제적인 응용을 고려하여 hard 스위칭 조건에서 실험하여 얻어진 데이터 수치들을 보인다. 이 비교 평가가 보다 나은 스위칭 특성들을 얻기 위한 기반이 될 수 있을 것이다

1. Introduction

최근 몇 년간, 1996년 초부터 반도체 시장에 선보인 3.3kV HVIGBT는 산업현장에서 점점 인기를 더해가고 있다. 이 소자를 인버터나 컨버터 등의 시스템에 사용할 때 동작 주파수가 가장 중요한 결정사항에 속하게 되는데 이를 결정할 때 스위칭 손실은 가장 중요한 요인이 된다. PT와 NPT 구조간의 스위칭 손실에 관한 비교 연구 논문이 여러 편 발표되었으나 모두 1200V이하의 소자에 관한 것이었다. 1200V IGBT의 경우에 PT IGBT의 스위칭 손실은 NPT IGBT의 손실에 비해 turn-on 스위칭 손실은 약간 크고 turn-off 손실은 상당히 커다[1]. 600V IGBT 경우에는 PT 구조의 IGBT switching 손실이 NPT IGBT의 경우보다 turn-on 손실에선 약간 작으나 turn-off 손실은 역시 상당히 크게 나타났다[3]. 낮은 전력 급의 IGBT와는 다르게 고압용 IGBT인 3.3kV HVIGBT에서는, 특히 turn-off 손실에서 다른 결과를 얻었다. 그 구조상의 특징과 제조 공정의 기술상의 문제점 때문에 고압에서는 NPT IGBT가 유리하리라는 예상과는 다르게 PT HVIGBT의 중요한 전기적 특성이 NPT HVIGBT와 견줄 만 하다는 점에 주목해 볼 필요가 있다. 본 논문에서 PT 구조의 IGBT 와 NPT 구조의 IGBT의 실험 과정을 통하여 스위칭 손실과 스위칭 손실에 영향을 미치는 파라미터의 비교를 통하여 두 소자간의 스위칭 특성을 분석해 보고자 한다.

2. PT와 NPT IGBT의 기본적 소자 구조

PT와 NPT 소자의 기본적 구조를 그림 1에 보였다. 두 구조간의 중요한 차이는 n+ buffer 층이다. PT 구조에서만 n+ buffer 층을 발견할 수 있는데 이는 n-drift 층을 줄이기 위한 구조이다. IGBT에는 잘 알려진 saturation 전압과 turn-off 손실간의 trade-off 특성이 존재한다. saturation 전압과 turn-off 손실은 각각 가장 주요한 요소들인 n-drift 영역의 저항과 tail 전류에 의해 크게 좌우된다. PT, NPT 두 구조 모두가 switching 손실에 주요한 영향을 미치는 요소인 tail 전류의 영향을 최소화하기 위한 효과적인 방법이 된다. 두 구조 모두 tail 전류를 줄이는 같은 목적을 가지기는 하지만 서로 다른 방법으로 문제 해결에 접근한다. 기본적으로, 이론적으로는 고압의 정격에서 NPT 구조가 더 낮은 switching 손실을 가지게 될 것이 기대된다. 낮은 switching 손실을 위해 NPT 구조는 tailing 구간 동안 전류의 크기를 최소한으로 줄이도록 디자인한다. 이는 IGBT의 MOSFET 부분이 전체 전류 양 중 되도록 많은 부분을 차지하도록 함으로써 실현된다. 전체 전류 양 중 MOSFET 부분을 최대화하는 것은 실제로 가능한 한 IGBT 내부 PNP transistor의 beta값을 낮게 만들면 된다. 높은 저지 전압을 위해 두껍게 만들어야 하는 이 drift 영역은 PNP transistor의 base 영역이 되므로 PNP transistor는 자연스럽게 낮은 beta 값을 갖게 된다. emitter efficiency를 낮추어도 낮은 beta 값을 얻을 수 있다. emitter efficiency를 낮추려면 p+ doping 농도를 낮추면 되는데 따라서 p+ 부분의 저항이 늘게 된다. 하지만 p-type anode에 의해 발생하는 도통손실 부분이 상대적으로 적어지기 때문에 고압 정격의 소자에서는 더 쉽게 실현할 수 있다. 따라서 PNP transistor의 emitter 부분의 도핑농도를 낮게 하여 emitter efficiency를 낮추게 된다. NPT 구조와는 다르게 PT 구조는 PNP transistor의 collector 전류 양을 최소화하기 보다 n-drift 영역과 PNP transistor의 p-type anode 영역간에 n+ buffer 층을 두어 이 층을 과잉 hole의 sink로 사용하여 빨리 없앰으로써 tail 전류 문제를 해결한다. PT IGBT는 몇 가지 불리한 점이 있다. PNP transistor 즉 PT 소자의 PNP transistor 부분은 같은 정격의 NPT 소자보다 더 작은 base 두께를 가지므로 더 큰 beta 값을 갖게 된다. 따라서 NPN transistor의 전류를 낮추는 것은 근본적으로 불리하며 VCE(sat) 전압에 근본적으로 NPT보다

유리한 점을 이용한다. 소수 캐리어의 lifetime을 줄이게 되면 n-drift 영역의 VCE(sat) 전압은 증가하지만 p+쪽에서 hole 전류가 줄고 tail 전류가 감소하는 비율이 증가한다. 이 때문에 또 다른 문제가 발생한다. PT 구조는 lifetime killing을 이용하기 때문에 온도가 상승하게 되면 lifetime이 급격히 증가하고, 따라서 Vd-drift 영역의 전압강하(분)가 감소하게 된다. 이는 끈 낮은 전류 레벨에서 VCE(sat)의 NTC(negative temperature coefficient) 특성을 의미한다. - 높은 전류 레벨에서는 V(MOSFET)가 높고 PNP transistor의 VBE는 줄어들어 PTC특성을 갖게 된다. - 고용량 화를 위해서는 불가피하게 칩이 병렬 구조로 구성되어야 하는데 이 NTC 특성은 치명적인 불리한 점이다. 낮은 전압에서 기존 PT IGBT는 p' substrate 층위에 epitaxial 층을 성장시킨다. 또 일반적으로 전자 방사에 의해 lifetime을 조정한다. 그러나 고압의 IGBT는 n-drift 영역을 늘려야 하므로 epitaxial wafer와 전자 방사를 사용하는 것은 현실적이지 못하다[4]. 또한 off 상태에서 PT 구조는 비슷한 경계의 NPT 구조의 IGBT에 비해 더 큰 전계가, 저지전압이 걸리게 되는 접합 면에 걸리게 된다[2].

3. 실험 회로와 조건

Step-down dc-dc converter가 PT와 NPT 소자간의 switching 특성 비교를 위해 사용되었다. 40 μ H의 유도성 부하를 사용하였다. 위 단 IGBT 내 FWD의 영향을 고려하여 실현대상이 되는 아랫단 소자(DUT)와 동일한 종류의 소자를 위 단에도 사용하였다. DUT의 게이트 단에 2 pulse를 인가하였다. 첫 번째 신호를 0초에 주었고, 두 번째 신호는 약 50 μ 초 후에 주었다. 모든 실험은 PT와 NPT 소자 모두에 동일하게 시행되었다. VDC 전압은 1600V로 고정하고 롤렉터 전류(IC)를 350A, 600A, 800A, 1250A로 변화시켰고 게이트 저항(Rg)은 1.0Ω, 1.5Ω, 2.7Ω, 3.8Ω으로 각각 바꾸어 실험하였고 실현온도는 80°C이었다. 모든 실험 과정은 turn-on 또는 turn-off 신호가 gate driver unit(GDU)에 인가된 시점을 0초로 하여 나타냈다. 그림 9에 과정 분석에 사용된 각종 파라미터의 정의를 나타냈다.

4. IC 변화 시 switching 특성

4-1. turn-on 특성

그림 3에서 IC 변화 시 두 구조의 turn-on 과정을 보였다. VGE 과정에서 Miller plateau 부분에서 NPT는 전류레벨이 변함에 따라서 VGE 값간의 간격이 벌어짐을 볼 수 있고 PT는 상대적으로 그 간격이 좁다. 이로 NPT 소자의 trans-conductance가 실현된 전류범위에서 PT 소자보다 큰 값을 가짐을 알 수 있다. 상승 기울기가 두 소자간 사뭇 다른 것이 흥미롭다. VGE 상승 초기에 NPT의 IG전류가 PT소자보다 더 크게 나타나며 이는 동일한 조건에서 gate driver의 구동전력이 더 필요함을 나타낸다. VCE가 떨어지는 시간은 NPT 소자에서 더 길게 나타나며 IC가 증가할수록 더 길어진다. di/dt는 서로 비슷하지만 PT 소자는 IC 전류가 커질수록 over-current가 크게 나타났지만 NPT 소자의 over-current는 별다른 변화가 없었다. turn-on power 과정에서

NPT 소자의 긴 switching 시간을 쉽게 알아볼 수 있다. NPT 소자의 느린 전압 강하는 turn-on 에너지 파형에서 NPT가 더 높은 값을 가지는 이유를 잘 설명한다. 최대 전력치도 NPT가 항상 높았다.

4-2. turn-off 특성

그림 4에서 IC 변화 시 두 구조의 turn-off 과정을 보였다. VGE 과정에서 1250A의 경우를 제외하고는 VGE값이 VGG+값인 15[V]에서부터 떨어지지 않는데, 이는 부하가 유도성이므로 원하는 전류 값을 얻기 위해 on-pulse의 폭이 짧아져, turn-on 후에 VGE 값이 15V로 상승하기 이전에 off 신호를 반기 때문이다. 때문에 낮은 전류에서 지역 시간이 실제보다 더 짧게 나타난다. turn-on의 경우와 마찬가지로 turn-off시 NPT 소자의 IG 파형의 전류 값이 전반적으로 PT보다 크게 나타났다. dv/dt는 PT가 크고 di/dt와 over-voltage는 NPT가 크게 나타났으나 근사하였고, 종합적으로 turn-off 에너지는 비슷한 양상을 보였다. 최대 전력치 역시 비슷한 값으로 나타났다.

4-3. Ic 변화 시 파라미터 비교

그림 7에 IC 변화 시 turn-on, turn-off의 각종 파라미터(지연 시간, over-voltage, over-current, di/dt, dv/dt, 상승시간, 하강시간)의 변화를 도표로 나타냈다. 지연 시간은 turn-on시 VGG-의 10%에서부터 IC의 10%상승 시까지, turn-off시 VGG+의 90%에서부터 VCE의 10%상승 시까지 시간으로 정의하였으므로 초기에 VGE의 상승과 하강이 빠른 PT 소자의 지연시간이 도표에서는 조금 크게 나온다. turn-off시 실질적으로는 VCE의 상승 시작 시각을 보면 PT가 off 전반적으로 조금 빠르다. 저항이 커지거나 전류가 커지면 그 차이는 커졌다. turn-on 지연시간은 PT가 모든 경우에서 컸다. turn-on과 turn-off 모두에서 di/dt는 PT, NPT 간에 근소한 차이를 보이나 dv/dt는 PT가 항상 높았다. turn-on 시의 di/dt, turn-off시의 dv/dt와 di/dt에 비해 상대적으로 turn-on의 dv/dt가 크게 나타났는데 이 때문에 turn-on energy가 turn-off energy에 비해 크게 나타났다. tail 전류에 의해 turn-off 에너지가 받는 영향을 감안하더라도 turn-on 에너지가 전체 switching 손실에 더 크게 기여함을 알 수 있다.

5. Rg 변화 시 switching 특성

5-1. turn-on 특성

그림 5에서 Rg 변화 시 두 구조의 turn-on 과정을 보였다. 두 구조 모두 VGE 과정이 Rg값이 변함에 따라 느려지고 IG 전류 값도 작아졌다. 하지만 NPT의 VGE와 IG가 더 큰 변화를 보임에도 불구하고 VCE의 두 소자 모두 dv/dt는 별반 변화가 없었다. PT 만이 저항 값에 따라 over-current 값이 줄었다. switching 손실은 역시 NPT가 컸지만 Rg 변화에 따른 switching 손실 변화는 IC 전류 변화시 보다 작았다. 따라서 switching 손실은 IC 변화에 더 민감함을 알 수 있다.

5-2. turn-off 특성

그림 6에서 Rg 변화 시 두 구조의 turn-off 과정을 보였다. 이

경우 가장 두드러진 점은 NPT 소자가 R_g 저항 값 변화에 더 민감하며 PT 소자가 R_g 값에 따른 변화가 적다는 것이다. di/dt , over-voltage, 지연시간, 최대 전력치 그리고 turn-off 에너지에서 그 변화 폭이 모두 작았다. dv/dt 는 NPT에 비해 상대적으로 작았다. turn-off 에너지는 큰 저항(3.8Ω)에서는 서로 비슷한 값을 가졌으나 낮은 저항(1.0Ω)에서는 오히려 NPT 소자가 낮은 값을 가졌다.

5-3. R_g 변화 시 파라미터 비교

그림 8에 R_g 변화 시 turn-on, turn-off의 파라미터들의 변화를 도표로 나타냈다. 두 소자 모두 turn-off시 dv/dt 는 눈에 띄게 줄었으며 NPT 소자는 di/dt 와 over-voltage가 저항이 증가함에 따라 감소했다.

7. 결 론

turn-on 손실은 NPT가 항상 높았으며 IC 전류가 증가할수록 PT 소자와 NPT 소자의 turn-on 손실 차는 커졌다. turn-off 손실은 서로 비슷하였으나 낮은 저항 값에서는 PT 소자의 손실이 크게 줄지 않아 오히려 NPT 소자의 turn-off 손실이 더 낮게 나타났다. switching 손실 면에서 turn-off 손실은 tail 전류 때문에 turn-on 손실보다 중요하게 생각되어져 왔다. 하지만 본 논문에서 실험 대상이 된 3.3kV NPT-IGBT는 동일한 조건에서 turn-on 손실이 turn-off 손실보다 눈에 띄게 크게 나타났다. 그래서 일반적으로 turn-on 저항을 turn-off 저항보다 작게 만드는 방법이 흔히 사용되기도 한다. 하지만 실험대상이 된 PT, NPT 소자의 경우 저항 변화에 따른 switching 손실의 변화 정도를 감안하면 switching 손실을 줄이기 위한 다른 방법들을 사용하거나 혼용해야 할 것이다. PT 보다는 NPT가, turn-off 보다는 turn-on의 경우 switching 손실을 줄이는데 초점을 두어야 할 것이다.

참고 문헌

- [1] Azzopardi, S., Janet, C., Vinassa, J.M. and Zardini, C., "Switching Performances Comparison of 1200V Punch-Through and Non Punch-Through IGBTs under Hard-Switching at Hard-Switching at High Temperature," *IEEE-PESC Conf. Rec.*, pp. 1201-1207, 1998
- [2] Mohan, Ncd, Underland, Tore M. and Robbins, William P., "Power Electronics," John Wiley & Sons Inc., pp. 583, 634-639, 1995
- [3] Siemieniec, R., Metzel, M. and Herzer, R., "Comparison of PT and NPT Cell Concept for 600V IGBTs," *EPE Conf. Rec.*, pp. 4.024-4.028, 1997
- [4] Ishii, K., Konishi, Y., Takeda, M., Thal, E. and Debled, G., "A New High Power, High Voltage IGBT," *Power Conversion Conf. Rec.*, pp.185-190, 1997
- [5] Azzopardi, S., Janet, C., Vinassa, J.M. and Zardini, C., "Dynamics Behaviour of Punch-Through IGBT in Hard Switching Converters at High Temperature," *EPE Conf. Rec.*, pp. 4.001-4.006, 1997
- [6] Baliga, B. Jayant, *Power Semiconductor Devices*, PWS, pp. 201-215, 426-485, 1995
- [7] Brunner, H., Hierholzer, M., Laska, T., Porst, A. and Spanke, R., "3300V IGBT Module for Traction Application," *EPE Conf. Rec.*, pp.1.056-1059, 1995
- [8] Wies, B. and Bruckmann, M., "A New Gate Driver Circuit for Improved Turn-Off Characteristics of High Current IGBT Modules," *IEEE-IAS Conf. Rec.*, pp. 1073-1077, 1998
- [9] Hierholzer, M. and Bayerer, R., "Improved Characteristics of 3.3kV IGBT Modules," *Power Conversion Conf. Rec.*, pp.201-204, 1997
- [10] Yilmaz, Hamza, Benjamin, John L., Dyer, Raymond, F., Chen, Li-Shu S., Dell, W. Ron Van and Piper, George C., Comparison of the Punch-Through and Non-Punch-Through IGT Structures, *IEEE Trans. on Industrial Applications*, vol. 22, no. 3, pp. 466-470
- [11] Steffen Bernet, Ralph Teichmann, Adrian Zuckerberger, and Peter K. Steimer, Comparison of High-Power IGBTs and Hard-Driven GTOs for High-Power Inverters, *IEEE Trans. on Industry Applications*, Vol., 35, No. 2, pp. 487-495, March/April, 1999.

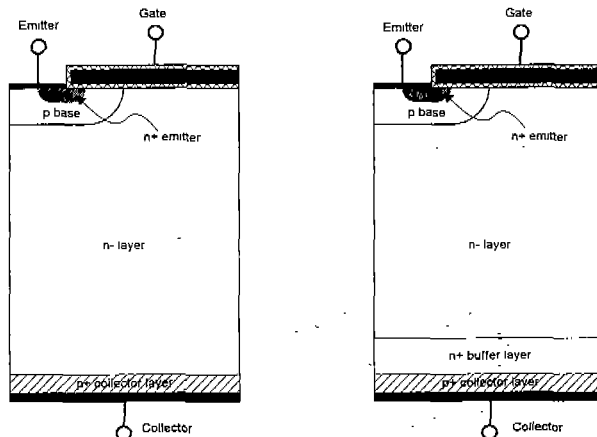


그림 1. PT와 NPT IGBT의 기본적 구조

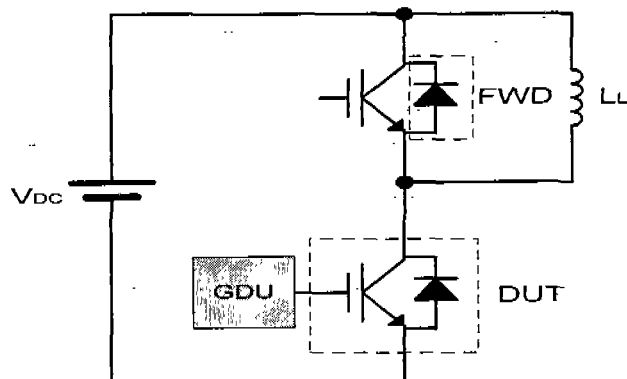


그림 2. PT와 NPT IGBT의 실험 회로

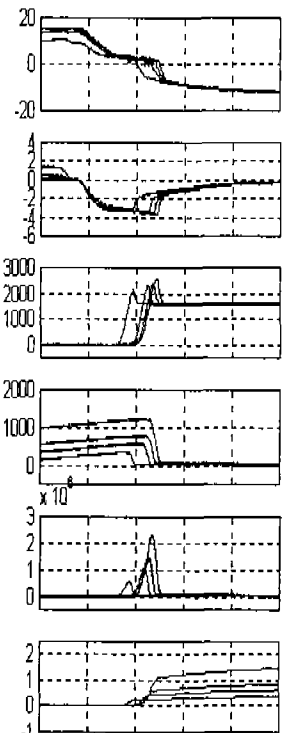
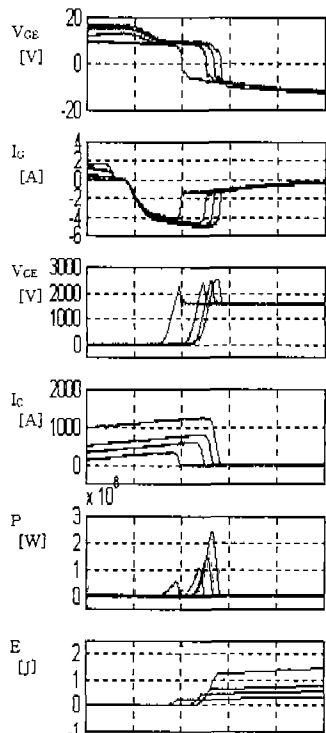
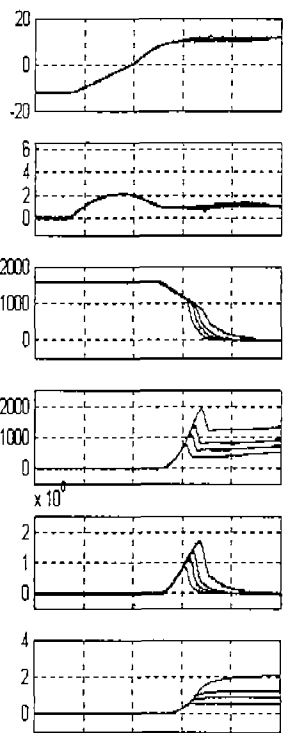
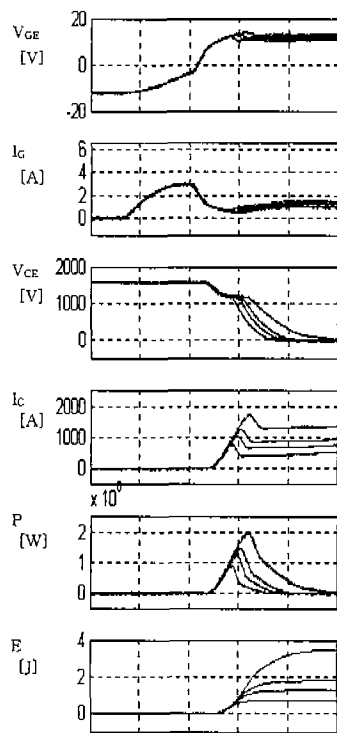


그림 3. PT-IGBT와 NPT-IGBT의 I_c 변화 시 turn-on 비교 과정
 [Test 조건: $V_{GG^+}=15V$, $V_{GG^-}=-12V$, $V_{DC}=1600V$, $T=80^\circ C$,
 $R_g=3.8\Omega$, $I_s=350, 600, 800, 1250A$, time=2μs/div]

그림 4. PT-IGBT와 NPT-IGBT의 I_c 변화 시 turn-off 비교 과정
 [Test 조건: $V_{GG^+}=15V$, $V_{GG^-}=-12V$, $V_{DC}=1600V$, $T=80^\circ C$,
 $R_g=3.8\Omega$, $I_c=350, 600, 800, 1250A$, time=2μs/div]

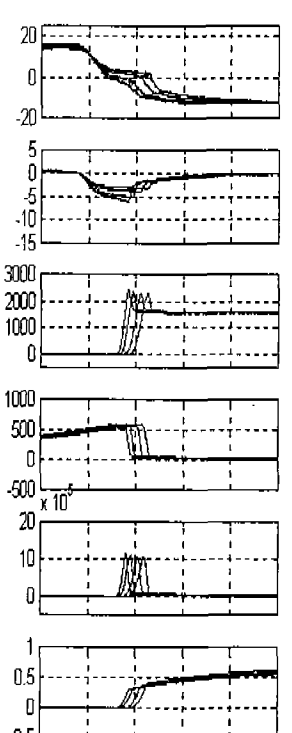
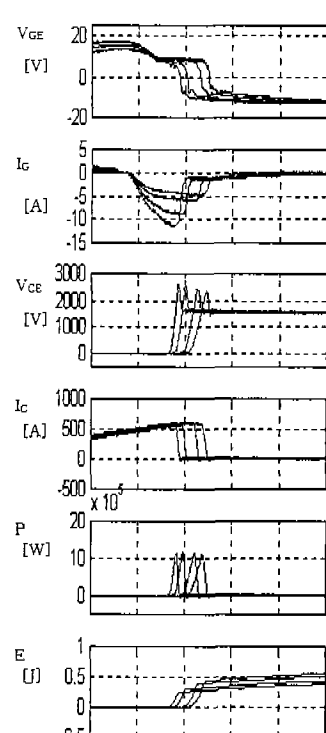
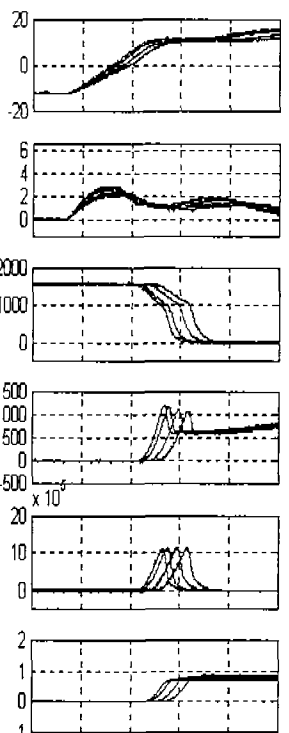
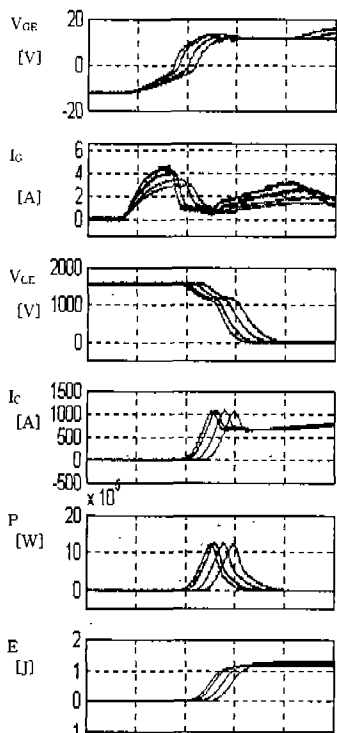
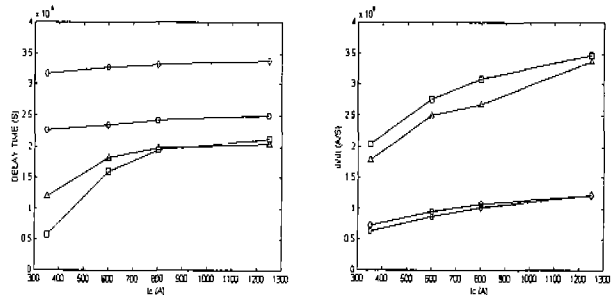
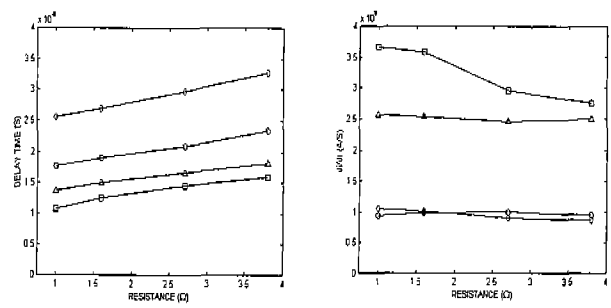
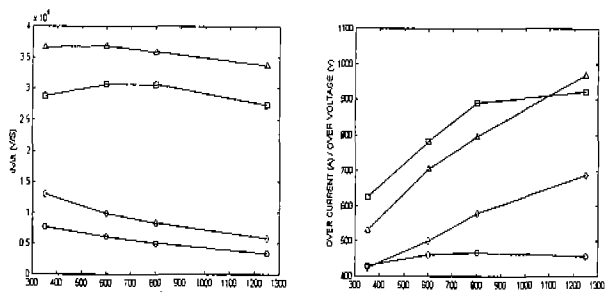
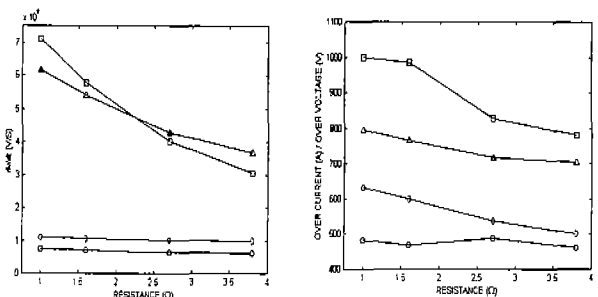


그림 5. PT-IGBT와 NPT-IGBT의 R_g 변화 시 turn-on 비교 과정
 [Test 조건: $V_{GG^+}=15V$, $V_{GG^-}=-12V$, $V_{DC}=1600V$, $T=80^\circ C$,
 $I_c=600A$, $R_g=1.0, 1.5, 2.7, 3.8\Omega$, time=2μs/div]

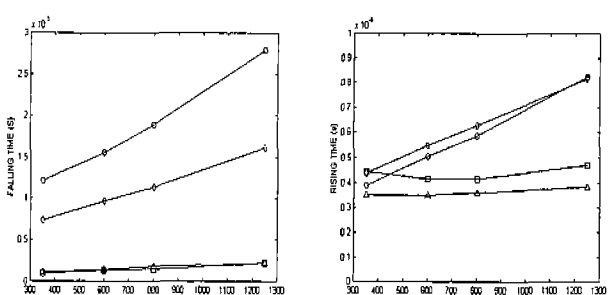
그림 6. PT-IGBT와 NPT-IGBT의 R_g 변화 시 turn-off 비교 과정
 [Test 조건: $V_{GG^+}=15V$, $V_{GG^-}=-12V$, $V_{DC}=1600V$, $T=80^\circ C$,
 $I_c=600A$, $R_g=1.0, 1.5, 2.7, 3.8\Omega$, time=2μs/div]



(a) 지연 시간

(b) di/dt (c) dv/dt 

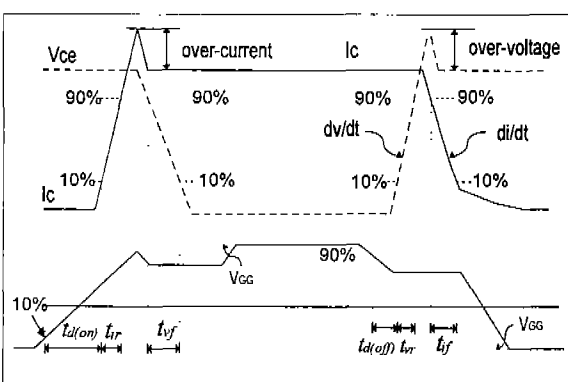
(d) over-current/voltage

그림 7. PT-IGBT와 NPT-IGBT의 I_c 변화시 파형 비교

Test 조건 : $V_{GG+}=15V$, $V_{GG-}=-12V$, $R_g=3.8\Omega$, $T=80^\circ C$,
 $V_{DC}=1600V$, $I_c=350, 600, 800, 1250A$
○ : NPT turn-on, □ : NPT turn-off
◇ : PT turn-on, △ : PT turn-off

그림 8. PT-IGBT와 NPT-IGBT의 R_g 변화시 파형 비교

Test 조건 : $V_{GG+}=15V$, $V_{GG-}=-12V$, $I_c=600A$, $T=80^\circ C$,
 $V_{DC}=1600V$, $R_g=1.0, 1.5, 2.7, 3.8\Omega$
○ : NPT turn-on, □ : NPT turn-off
◇ : PT turn-on, △ : PT turn-off



[$t_{d(on)}$: turn-on 지연 시간, t_r : I_c 상승 시간, t_{vf} : V_{CE} 하강 시간
 $t_{d(off)}$: turn-off 지연 시간, t_{if} : I_c 하강 시간, t_{vr} : V_{CE} 상승 시간]

그림 9. 스위칭 파형과 관련된 각종 파라미터의 정의